

آشکارساز CFAR در حضور لبه کلاتر با استفاده از تبدیل موجک ایستان

حمید سعیدی سورک^۱، استادیار، عباس بریزی^۱، دانشجوی کارشناسی ارشد، امیر زعیم باشی نصرت آبادی^۲، استادیار

۱- دانشکده مهندسی برق - دانشگاه یزد - یزد - ایران - a.berizi69@gmail.com و saeedi@yazd.ac.ir

۲- دانشکده فنی و مهندسی - بخش مهندسی برق - دانشگاه شهید باهنر کرمان - کرمان - ایران - a.zaimbashi@uk.ac.ir

چکیده: در این مقاله یک آشکارساز با نرخ هشدار کاذب ثابت (CFAR) بر مبنای تبدیل موجک ایستان شامل بخش آشکارساز مکان لبه و پردازندۀ CA-CFAR در حضور لبه کلاتر ارائه شده است. آشکارساز پیشنهادی نیازی به اطلاع پیشین از محیط ندارد. این آشکارساز از تبدیل موجک برای تشخیص لبه استفاده نموده و سپس سلول‌های مرجع مناسب را برای تعیین سطح آستانه انتخاب می‌کند. اگرچه در محیط‌های همگن آشکارساز یک آشکارساز بهینه است اما در محیط‌های غیر همگن دارای افت عملکرد زیادی است. عملکرد آشکارساز پیشنهادی با آشکارسازهای CA-CFAR، GO-CFAR و SO-CFAR مقایسه می‌شود. نتایج شبیه‌سازی نشان می‌دهد که آشکارسازی پیشنهادی در محیط همگن عملکردی نزدیک به CA-CFAR دارد. لبه کلاتر می‌تواند قبل یا بعد از سلول تحت تست باشد. اگر مکان لبه قبل از سلول تحت تست باشد عملکردی نزدیک به SO-CFAR خواهد داشت و در صورتی که مکان لبه بعد از سلول تحت تست باشد عملکرد آن نزدیک GO-CFAR است.

واژه‌های کلیدی: رادار، آشکارسازی، CFAR، لبه کلاتر، تبدیل موجک.

CFAR Detector in Clutter Edge Situation Using Stationary Wavelet Transform

Hamid Saeedi-Sourck, Assistant professor¹, Abbas Berizi, Student¹, Amir Zaimbashi, Assistant professor²

1- Department of Electrical Engineering, Yazd University, Yazd, Iran, saeedi@yazd.ac.ir, a.berizi69@gmail.com

2- Department of Engineering, Shahid Bahonar University of Kerman, Kerman, Iran, [zaimbashi@uk.ac.ir](mailto:a.zaimbashi@uk.ac.ir)

Abstract: In this paper, a new wavelet-based constant false alarm rate (CFAR) detector called wavelet-CFAR (W-CFAR), composed of the clutter edge detector and the cell-averaging (CA)-CFAR processor, is proposed in the clutter edge situation. The proposed detector does not require any prior knowledge about the background environment. It uses wavelet transform for edge detection and then selects appropriate part of reference cells for thresholding. Although CA-CFAR is an optimal detector for the homogeneous environment, but its performance is degraded in the non-homogeneous environment. The performance of the proposed detector is evaluated and compared with those of the Greatest Of (GO), Smallest Of (SO), and CA-CFAR detectors. The simulation results show that the proposed detector provides low loss CFAR performance for the homogenous environment in comparison with CA-CFAR. The clutter edge may be stayed on before or after cell under test (CUT). The performance of W-CFAR approaches to SO-CFAR as long as the position of clutter edge is before CUT; otherwise its performance approaches to GO-CFAR.

Keywords: Radar, detection, CFAR, clutter edge, Wavelet transform.

تاریخ ارسال مقاله: ۱۳۹۵/۰۶/۰۲

تاریخ اصلاح مقاله: ۱۳۹۵/۰۹/۰۴

تاریخ پذیرش مقاله: ۱۳۹۵/۱۰/۰۶

نام نویسنده مسئول: حمید سعیدی سورک

نشانی نویسنده مسئول: ایران - یزد - بلوار دانشگاه - دانشگاه یزد - دانشکده مهندسی برق

۱- مقدمه

موجک، سلول‌های شامل اهداف تداخلی را حذف کرده و عملکرد CA-CFAR را بهبود دهد. در [۱۱] با استفاده از تبدیل موجک سطح توان نویز در حضور کلاتر دریا به نحو مناسب‌تری تخمین زده است. در [۱۲] با استفاده از تبدیل موجک، سیگنال دریافتی در چندین مرتبه تجزیه شده و به دنبال آن آشکارسازی در ضرایب تجزیه موجک انجام شده است. بهره‌حال آشکارساز CA-CFAR یکی بهترین آشکارسازها در محیط همگن است. اما یکی از مشکلاتی که این آشکارساز را رنج می‌دهد لبه کلاتر می‌باشد. از آنجا که در حضور لبه کلاتر با دو سطح توان متفاوت برای کلاتر رویرو هستیم با تشخیص محل تغییر توان می‌توان به بهبود آشکارساز CA-CFAR کمک کرد. بر پایه اطلاعات ما تاکنون روشی که سعی در آشکارسازی لبه کلاتر نموده و بر اساس آن عملکرد آشکارسازی CA-CFAR را بهبود دهد ارائه نشده است.

در این مقاله به بررسی عملکرد آشکارساز CFAR در حالتی که حضور لبه کلاتر و مکان آن نامعلوم باشد می‌پردازیم. به منظور انتخاب سلول‌های مناسب جهت انتخاب آستانه، با استفاده از تبدیل موجک ایستان^{۱۲} محل لبه کلاتر را تخمین می‌زنیم. برای سادگی به این آشکارساز مبتنی بر تبدیل موجک W-CFAR^{۱۳} می‌گوییم. آشکارسازی بر روی یک تک پالس در محیط‌های همگن و غیرهمگن مورد بررسی قرار می‌گیرد. نتایج نشان می‌دهد که آشکارساز ارائه شده در محیط‌های همگن همانند آشکارساز CA-CFAR که یک آشکارساز بهینه در حالت نویز گوسی است [۴]، عمل می‌کند و در محیط‌های غیرهمگن نیز عملکرد خوبی دارد. به عبارت بهتر در حالتی که لبه کلاتر قبل از سلول تحت تست (CUT) باشد عملکرد آن نزدیک به SO-CFAR بوده و در صورتی که لبه کلاتر بعد از سلول تحت تست باشد عملکرد آن به GO-CFAR نزدیک است.

۲- آشکارسازهای CFAR

دامنه کلاتر با توزیع ویبول را باتابع چگالی احتمال [۶]

$$f(x) = \frac{C}{B} \left\{ \frac{x}{B} \right\}^{C-1} \exp \left\{ -\left(\frac{x}{B} \right)^C \right\} \quad (1)$$

را در نظر می‌گیریم که B پارامتر مقیاس و C پارامتر شکل این توزیع می‌باشد. به منظور رسیدن به احتمال هشدار غلط ثابت (p_{fa} ، آستانه آشکارسازی بر حسب پارامترهای معلوم شکل و مقیاس به صورت [۶]

$$T = \left\{ -\ln(P_{fa}) \right\}^{\frac{1}{C}} B \quad (2)$$

بدست می‌آید. از آنجایی که در شرایط عملی پارامترهای B و C نامعلوم بوده و باید تخمین زده شوند، رابطه (۲) به صورت [۶]

$$\hat{T} = \alpha^{\frac{1}{C}} \hat{B} \quad (3)$$

در می‌آید که α تابعی از p_{fa} و تعداد سلول‌های درگیر در تخمین پارامترهای B و C و همچنین روش این تخمین می‌باشد. در بسیاری

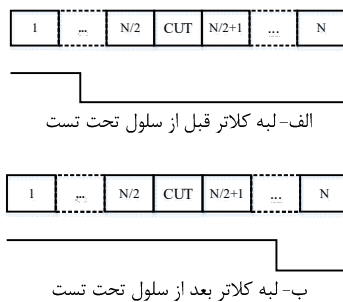
از مباحث قدیمی در سیستم‌های رادار آشکارسازی اهداف در حضور تداخل است. کنترل نرخ هشدار غلط یک مسئله مهم در آشکارسازی سیگنال‌های راداری است. نرخ بالای هشدار غلط منجر به سریز شدن پردازشگر داده‌ها می‌شود و کار آن‌ها را مختل می‌کند. همچنین در صورت متحرک بودن هدف، افزایش نرخ هشدار غلط، رادار را از دنبال کردن مسیر هدف باز می‌دارد و کاهش زیاد نرخ هشدار غلط هم منجر به کاهش احتمال آشکارسازی می‌شود. بنابراین در طراحی آشکارسازها اغلب متمایل به تثبیت نرخ هشدار غلط هستند که به این آشکارسازها، آشکارسازهای با نرخ هشدار غلط ثابت (CFAR^۲) می‌گویند. تاکنون در زمینه آشکارسازهای CFAR تحقیقات وسیعی صورت گرفته است که از جمله آن‌ها می‌توان به آشکارسازهای میانگین گیر CA-CFAR^۳ و آشکارسازهای مبتنی بر آمارگان مرتب‌شده OS-CFAR^۴ اشاره کرد [۱، ۲]. این آشکارسازها دارای مزایا و معایبی هستند. اگرچه این روش‌ها سعی در بهبود عملکرد آشکارسازها در شرایط همگن^۵ و ناهمگن^۶ دارند ولی روش‌های مذکور قادر به عملکرد قابل قبولی هم در حضور اهداف تداخلی و هم در حضور لبه کلاتر^۷ نیستند. برای حل این دو مشکل، آشکارسازهای جدیدی با نام‌های GO-CFAR^۸ و SO-CFAR^۹ ارائه شدند که GO-CFAR برای حل مشکل وجود لبه کلاتر و آشکارساز SO-CFAR به منظور حل اهداف تداخلی استفاده می‌شوند [۳، ۴]. آشکارسازهای مذکور مشکلات بیان شده در مورد اهداف تداخلی و لبه کلاتر را تا حدودی برطرف می‌کنند ولی در محیط‌های همگن دارای عملکرد ضعیفتری نسبت به CA-CFAR هستند. در [۵] با تلفیق کردن آشکارسازهای با عملکرد GO-CFAR و SO-CFAR با آشکارساز OS-CFAR به آشکارسازی با عملکرد بهتر در محیط‌های غیرهمگن دست یافته شد که به آن‌ها OSGO-CFAR و OSSO-CFAR گفته می‌شود همچنین یک ساختار جدید مبتنی بر آمارگان مرتب وزن دهی شده و با استفاده از قوانین منطق فازی در [۶] پیشنهاد شد که روش پیچیده آشکارساز قبل را با استفاده از منطق فازی بهبود بخشید و WOSF-CFAR نامیده شد. بعلاوه یک کلاس جدید از آشکارسازهای CAFR مبتنی بر سانسور^{۱۰} ارائه شده است که در آن‌ها، همگن و یا غیرهمگن بودن محیط را در سلول مرجع تشخیص می‌دهند [۷، ۸]. هرچند استفاده از تبدیل موجک در رادار مورد توجه بوده است اما استفاده از این تبدیل در آشکارسازهای CAFR بسیار محدود است. در [۱۲-۹]

استفاده از تبدیل موجک در آشکارسازهای CAFR مورد بررسی قرار گرفته است. در [۹] به بررسی آشکارساز CFAR با استفاده از تبدیل موجک^{۱۱} پرداخته شده است بدین صورت که به جای پرداختن به آشکارسازی روی دامنه سیگنال بازتابی از هدف، به آشکارسازی روی دامنه ضرایب تبدیل موجک سیگنال بازتابی می‌پردازد. در این حالت هیچ اشاره‌ای به حضور اهداف تداخلی و لبه کلاتر نمی‌کند. در [۱۰] پیشنهاد شده است که می‌توان با استفاده از نویز زدایی بر پایه تبدیل

$$\hat{B}_i = \left(\frac{2}{N} \sum_{j=1}^{\frac{N}{2}} x_{i,j}^C \right)^{\frac{1}{C}} \quad i = L, R \quad (7)$$

است.

به طور کلی دو حالت قبل و بعد از سلول تحت تست برای مکان لبه کلاتر در نظر گرفته می‌شود (شکل ۳). بهتر است با توجه به اینکه آمارگان سلول تحت تست در این دو سناریو تابع اکثربت سلول‌های مرجع است، پردازنده CFAR نیز سعی کند با استفاده از مکان لبه و سلول‌های مرجع اکثربت تخمين دقيقی از پارامتر (های) کلاتر بزند. در آشکارساز پیشنهادی W-CFAR برخلاف GO و SO که مستقل از مکان لبه کلاتر عمل می‌کنند با تشخیص موقعیت لبه کلاتر از سلول‌های مناسب‌تری برای تخمين پارامترهای نامعلوم کلاتر استفاده می‌شود که در ادامه به جزئیات بیشتر آن پرداخته می‌شود.



شکل ۲: موقعیت لبه در سلول‌های مرجع

۳-آشکارساز W-CFAR

در این بخش عملکرد کلی CFAR با استفاده از تکنیک مکان‌یابی لبه کلاتر توسط تبدیل موجک ایستان بررسی می‌شود. در شکل ۳ ساختار کلی پردازنده W-CFAR نشان داده شده است. اساس کار این پردازنده نیز مانند CA-CFAR است. همان‌گونه که در این شکل نشان داده شده است سلول‌های مرجع ابتدا به واحدی به نام آشکارساز لبه داده می‌شوند تا مکان تغییر توان کلاتر (لبه کلاتر) مشخص گردد. سپس این مکان به همراه سلول‌های مرجع به پردازنده W-CFAR داده می‌شود. این پردازنده با استفاده از مکان لبه، سلول‌های مناسب را برای تخمين پارامترهای کلاتر تعیین می‌کند و از روی آن‌ها پارامتر کلاتر تخمين زده می‌شود. در ادامه پس از بیان کلی تبدیل موجک ایستان و آشکارسازی لبه، به بررسی عملکرد W-CFAR می‌پردازیم.

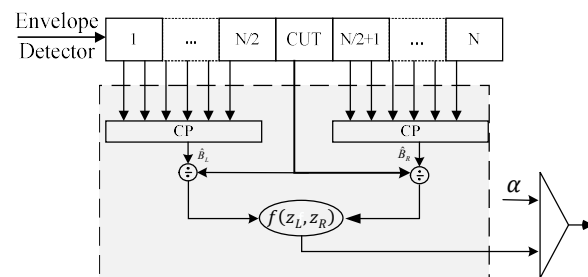
۳-۱-تبدیل موجک

تبدیل موجک یک تبدیل زمان-مقیاس (یا زمان-فرکانس) است. هدف از تبدیل موجک انتقال سیگنال از فضای زمان به فضای مشترک

از موارد پارامتر شکل به کندی با زمان تغییر می‌کند. در این موارد پارامتر شکل از مشخصات محیطی و یا از روی تعداد زیادی از نمونه‌ها تخمين زده می‌شود [۶]. از آنجا که تخمين پارامتر شکل در روش‌های مذکور با خطای زیادی همراه است پارامتر شکل C به عنوان یک پارامتر معلوم فرض می‌شود. بنابراین می‌توان آزمون آشکارسازی با خاصیت CFAR را برای سلول تحت تست به صورت [۶]

$$CUT > \alpha^{\frac{1}{C}} \hat{B} \quad (4)$$

بیان کرد که H_1 و H_0 به ترتیب معرف فرضیه‌های حضور و عدم حضور سیگنال هستند. شکل ۱ ساختار کلی آشکارسازهای CFAR مورد بررسی در این مقاله را نشان می‌دهد. همان‌گونه که ملاحظه می‌شود به منظور آشکارسازی در سلول تحت تست از N نمونه سیگنال دامنه دریافتی از آشکارساز دامنه در اطراف سلول تحت تست (سلول‌های مرجع) استفاده می‌گردد.



شکل ۱: ساختار کلی آشکارسازهای CFAR

وظیفه بلوک CP^{۱۴} تخمين پارامترهای نامعلوم در توزیع کلاتر با استفاده از سلول‌های سمت چپ و راست سلول تحت تست می‌باشد. مسئله مورد بررسی و در واقع آنچه که باعث ایجاد آشکارسازهای CFAR متفاوتی می‌شود انتخاب بلوک CP و ترکیب اطلاعات خروجی این بلوک‌ها (f) می‌باشد. برای مثال با انتخاب پردازنده میانگین‌گیر در بلوک CP و استفاده از توابع ماکزیمم، مینیمم و جمع در بلوک f(z_L, z_R) به آشکارسازهای CA, GO, SO می‌رسیم. آزمون آشکارسازی در این آشکارسازها به صورت :

$$f(z_L, z_R) \geq \alpha \text{ where } f(z_L, z_R) = \begin{cases} \max(z_L, z_R) & SO \\ \min(z_L, z_R) & GO \\ ave(z_L, z_R) & CA \end{cases} \quad (5)$$

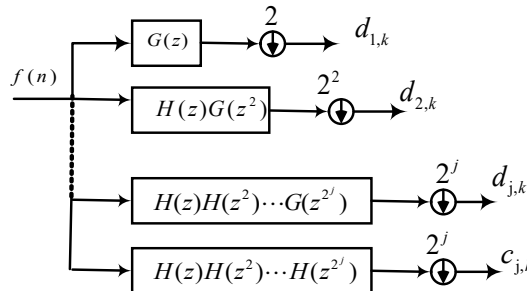
بیان می‌شود. همچنین برای z_L, z_R داریم :

$$z_L = \frac{CUT}{\hat{B}_L} \quad (6)$$

$$z_R = \frac{CUT}{\hat{B}_R}$$

شایان ذکر است که در آشکارسازهای GO و SO تخمین پارامتر مقیاس به صورت [۶] :

موجک گستته^{۱۰} سیگنال گستته زمان با استفاده از دو فیلتر متعامد تربیعی بالا گذر ($G(z)$) و پایین گذر ($H(z)$) ممکن نیز است [۱۴]. در این تئوری نمونه‌های گستته زمان سیگنال ($f(n)$) در یک فضای برداری قرار دارند و با هر بار تجزیه توسط فیلترهای H و G ، سیگنال گستته زمان به دو بخش ضرایب جزئیات^{۱۱} (ضرایب موجک) و ضرایب تقریب^{۱۲} که البته در زیرفضاهای متعامد قرار دارند تجزیه می‌شود. ذکر این نکته نیز مهم است که تعداد نمونه‌های ضرایب تقریب و موجک نصف ضرایب سیگنال ($f(n)$) می‌باشد. در ادامه تجزیه نیز ضرایب تقریب مجدد به دو بخش تقسیم می‌شوند. بدیهی است که افزایش تعداد سطوح تجزیه باعث کاهش مجدد تعداد ضرایب در سطوح پایین می‌شود. به سادگی و با استفاده از قواعد پردازش چند نرخی (MRSP^{۱۳}) می‌توان نشان داد که اگر تمامی عملیات کاهش نرخ نمونه در یک مکان انجام شود ساختاری مشابه شکل ۴ بدست خواهد آمد که در آن ضرایب تجزیه موجک و تقریب به ترتیب $d_{j,k}$ و $c_{j,k}$ هستند. با توجه به این شکل واضح است که تعداد نمونه‌های ضرایب سیگنال در هر مرتبه تجزیه نصف می‌شوند. همچنین تعداد سطوح تجزیه مطابق با الگوریتم پردازش سیگنال انتخاب می‌شود.



شکل ۴: پیاده‌سازی تبدیل موجک گستته با استفاده از ساختار بانک فیلتر [۱۴]

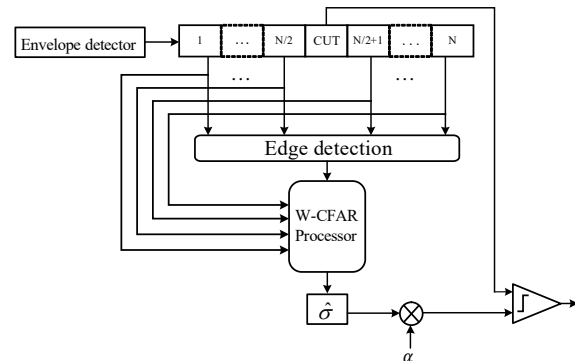
۲-۳-۳- تبدیل موجک با تعامد طرفینی

در بخش ۱-۳ اشاره شد که فیلترهای $G(z)$ و $H(z)$ متعامد هستند. همان‌گونه که می‌دانیم یکی از خواص مهمی که می‌توان برای فیلتر در نظر گرفت فاز خطی است. از آنجا که نمی‌توان همزمان فیلترهای متعامد متقارن (با فاز خطی) داشت از تعامد صرف‌نظر کرده و صرفاً تقارن را در نظر می‌گیریم که این فرض منجر به ظهور تبدیل موجک با تعامد طرفینی^{۱۳} خواهد شد [۱۴]. هرچند از جنبه پیاده‌سازی این نوع تبدیل موجک بازهم با دو فیلتر روپرو هستیم ولی در این حالت فیلترهای مذکور دیگر متعامد نیستند. ذکر این نکته نیز مهم است که فضاهایی که ضرایب تقریب و جزئیات در آن قرار دارند نیز متعامد نمی‌باشند.

۳-۳- تبدیل موجک ایستان

همان‌گونه که در ساختار بانک فیلتری تبدیل موجک گستته ملاحظه شد تعداد ضرایب تجزیه در هر مرتبه نسبت به مرتبه قبلی نصف

زمان- فرکانس می‌باشد. ویژگی‌های زمان- فرکانس تبدیل موجک آن را ابزار قدرتمندی برای بررسی مسائل پردازش سیگنال ساخته است که روش‌های سنتی ممکن است در آن‌ها ضعیف عمل کنند. از جمله آن‌ها می‌توان به فشرده‌سازی داده، حذف نویز و تشخیص لبه سیگنال اشاره کرد [۱۴]. شایان ذکر است اخذ تبدیل موجک از لبه باعث ایجاد ماکریمه‌های محلی در تبدیل می‌شود و لذا تعیین مکان لبه را ممکن نیز می‌کند. البته برای تعیین محل دقیق لبه الگوریتم مناسبی ارائه شده است [۱۵] و [۱۶] که در بخش ۳-۴ به آن اشاره می‌شود.



شکل ۳: ساختار پردازندۀ CFAR با استفاده از تبدیل موجک

تبدیل موجک پیوسته (CWT^{۱۵}) برای تابع $f(t)$ توسط رابطه [۱۴]

$$W_f(a, b) = \int_{-\infty}^{+\infty} f(t)\Psi_{a,b}^*(t)dt \quad (8)$$

تعریف می‌شود که علامت * مزدوج مختلط را نشان می‌دهد و $\Psi_{a,b}^*(t)$ به صورت یک تابع پنجه است که از بسط پایه موجک مادر (Ψ) به صورت

$$\Psi_{a,b}^*(t) = \frac{1}{a}\Psi\left(\frac{t-b}{a}\right) \quad (9)$$

تولید می‌شود و در آن a پارامتر مقیاس^{۱۶} و b پارامتر انتقال^{۱۷} است.

بنابراین با جایگذاری (۹) در (۸) تبدیل موجک پیوسته سیگنال ($f(t)$) به صورت

$$W_f(a, b) = \int_{-\infty}^{+\infty} f(t)\frac{1}{a}\Psi^*\left(\frac{t-b}{a}\right)dt \quad (10)$$

بدست می‌آید. با توجه به پیوستگی پارامترهای مقیاس a و انتقال b افزونگی زیادی در تبدیل ایجاد می‌شود. از روش‌های معروف در گستته کردن پارامترهای مقیاس و انتقال، که به تجزیه دودویی معروف است، به صورت:

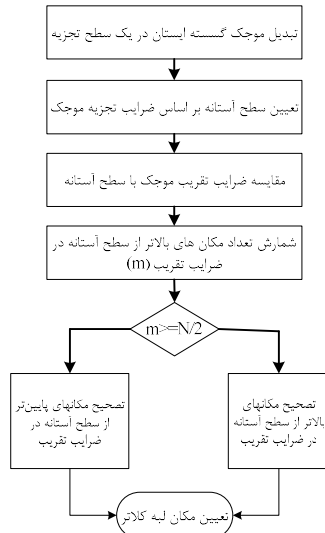
$$a = 2^{-j}, b = k \cdot 2^{-j} \quad k, j \in \mathbb{Z} \quad (11)$$

است. با جایگذاری (۱۱) در (۱۰) داریم :

$$d_{j,k} = \int_{-\infty}^{+\infty} f(t)2^{\frac{j}{2}}\Psi^*(2^j t - k)dt \quad (12)$$

که $d_{j,k}$ ضرایب تبدیل موجک گستته سیگنال پیوسته ($f(t)$) می‌باشند. دقت شود که در رابطه مذکور پارامترهای a و b گستته شده‌اند، اما پارامتر زمان یعنی t همچنان پیوسته است. طبق تئوری تجزیه و تحلیل با دقت چندگانه (MRA^{۱۸}) ثابت می‌شود که تبدیل

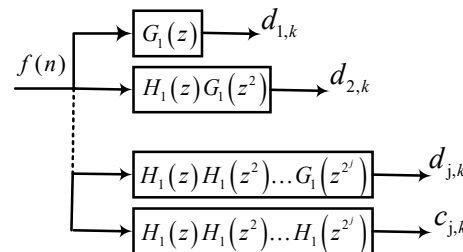
که $W_2 f(n)$ تبدیل موجک گسسته سیگنال $f(n)$ بوده و پارامتر J نیز حداکثر $\log_2 N$ خواهد بود. شایان ذکر است که در این حالت بعد از انجام عمل فیلتر روی سیگنال $f(n)$ کاهش نرخ نمونهای نخواهیم داشت. با توجه به شبیه‌سازی که در ادامه آن‌ها را خواهید دید عملکرد مناسبی از الگوریتم فوق در این کاربرد مشاهده نشد. طبق مطالعات صورت گرفته در موارد دیگری نیز مانند [۱۸] عملکرد آشکارساز لبه MH در [۱۵] و [۱۶] مناسب نیست. بنابراین تصمیم گرفتیم تا روش دیگری را برای تعیین لبه با استفاده از تبدیل موجک ایستان ارائه کنیم.



شکل ۶: الگوریتم تشخیص لبه کلاتر

الگوریتم تشخیص لبه در شکل ۶ به تصویر کشیده شده است. همان‌طور که در شکل ۶ نمایش داده شده است سیگنال مطلوب در یک سطح تجزیه شده و بعد از تعیین سطح آستانه توسط ضرایب تجزیه موجک، ضرایب تقریب با سطح آستانه مقایسه می‌شوند. ابتدا تعداد ضرایب بالاتر از سطح آستانه تعیین می‌شود. حال با توجه به تعداد ضرایب تقریب غیر صفر، دو نوع تصمیم‌گیری صورت می‌گیرد. اگر تعداد نمونه‌های بالای سطح آستانه بیشتر با برابر با نصف نمونه‌های تعداد سلول‌های مرجع (یعنی ۱۶) بود حالت مطابق شکل ۲-ب اتفاق افتاده است و در غیر این صورت حالت مطابق شکل ۲-الف رخ داده است. در صورت رخداد شکل ۲-ب نمونه‌های بالای سطح آستانه به یک و نمونه‌های بالای سطح آستانه به صفر تبدیل می‌شود. برای تصحیح مکان‌های غیر صفر در الگوریتم بر این نکته تأکید می‌کنیم که اگر بین دو نمونه غیر صفر یک نمونه صفر وجود داشت نمونه صفر را بر اساس درون‌یابی به نمونه غیر صفر تبدیل می‌کنیم. حال می‌توان مکان لبه کلاتر را به سادگی تعیین کرد. عملکرد این الگوریتم در بخش شبیه‌سازی بررسی شده است.

می‌شوند. این خاصیت علاوه بر کاهش نرخ نمونه‌ها و افزایش سرعت پردازش پردازنده‌ها، در مواردی مانند تشخیص لبه خیلی مناسب نیست. دلیل این مسئله آن است که با اخذ تبدیل موجک گسسته طبق تئوری MRA تعداد نمونه‌ها در ضرایب کاهش می‌باشد و مکان ماکریزم محلی به دلیل حضور لبه‌ها جایجا می‌شود [۱۵]. بنابراین تبدیلی به نام تبدیل موجک ایستان معروفی می‌شود که تعداد ضرایب در مراتب مختلف ثابت و برابر تعداد نمونه‌های سیگنال اصلی است [۱۷]. اگر از نقطه نظر ساختار بانک فیلتر به این تبدیل نگاه شود ساختاری مشابه تبدیل موجک گسسته به دست می‌آید (شکل ۵) با این تفاوت که عملیات کاهش نرخ نمونه در این شکل وجود ندارد. همچنین فیلترهای H_1 و G_1 در این ساختار از اضافه کردن صفر بین ضرایب فیلترهای H و G حاصل شده است.



شکل ۵: پیاده‌سازی تبدیل موجک گسسته ایستان با استفاده از ساختار بانک فیلتر [۱۴]

۳-۴-آشکارسازی لبه کلاتر با تبدیل موجک

لبه کلاتر در این مقاله به صورت تغییر توان در پنجره مرجع در نظر گرفته شده است. مطابق شکل ۲ فرض می‌شود نمونه‌های کلاتری که قبل از لبه هستند دارای توان P_1 بوده و نمونه‌هایی که بعد از لبه کلاتر قرار دارند توانی برابر P_2 دارند به نحوی که $P_1 > P_2$ است.

همان‌گونه که می‌دانیم یکی از کاربردهای تبدیل موجک تشخیص نقاط ویژه (مثالاً لبه) در شکل موج می‌باشد. یکی از خصوصیات جالب تبدیل موجک این است که ضرایب آن مقادیر بزرگی را در محل لبه‌ها ایجاد می‌کنند [۱۴]. بنابراین می‌توان موقعیت لبه‌ها را بر اساس ماکریزم محلی تشخیص داد. در [۱۵] و [۱۶] یکی از مهمترین و اولین روش‌ها برای تشخیص لبه ارائه شده است که در این مقاله به اختصار به آن الگوریتم^۴ MH مگوییم که از حروف ابتدای نام مؤلفین مرجع [۱۵] برداشته شده است. اساس این روش بر این مبنای استوار است که با ضرب ضرایب تجزیه موجک در چندین سطح و سپس آستانه‌گذاری روی دامنه حاصل ضرب می‌توان لبه را تشخیص داد. به عبارت بهتر برای سیگنال زمان گسسته $f(n)$ می‌توان نوشت [۱۵] و [۱۶]:

$$F(n) = \prod_{j=1}^J W_2^j f(n) \quad (13)$$

در این صورت پردازشگر W-CFAR از روی سلول‌های با توان بالاتر و با میانگین‌گیری از توان آن‌ها پارامتر کلاتر را تقریب می‌زند که در این حالت:

$$w_i = \begin{cases} 0 & i > r \\ 1 & \text{else} \end{cases} \quad (20)$$

بنابراین در آشکارساز ارائه شده می‌توان آزمون آشکارسازی با خاصیت CFAR را برای سلول تحت تست CUT به صورت زیر بیان نمود:

$$CUT >_{H_0} \left[\alpha_{N,r} \sum_{i=1}^N (w_i x_i)^2 \right]^{0.5} \quad (21)$$

که در آن $\alpha_{N,r}$ برای حالت ۲-الف به صورت:

$$\alpha_{N,r} = \sqrt{\left(p_{fa}^{\frac{1}{N-r}} - 1 \right)} \quad (22)$$

و برای حالت ۲-ب به صورت:

$$\alpha_{N,r} = \sqrt{\left(p_{fa}^{\frac{1}{r-1}} - 1 \right)} \quad (23)$$

بدست می‌آید.

۵- نتایج شبیه‌سازی

در این بخش عملکرد CFAR با استفاده از تکنیک مکان‌یابی لبه کلاتر توسط تبدیل موجک ایستان بررسی می‌شود و نتایج آن با الگوریتم‌های دیگر مانند SO-CFAR, GO-CFAR, CA-CFAR مقایسه می‌گردد. برای مقایسه این الگوریتم‌ها با استفاده از روش شبیه‌سازی مونت‌کارلو و رسم منحنی‌های احتمال آشکارسازی (p_d) بر حسب توان سیگنال به کلاتر (SCR) به ازای احتمال آژیر غلط ثابت $P_{fa} = 10^{-4}$ و منحنی احتمال آژیر غلط بر حسب مکان لبه کلاتر در $P_{fa} = 10^{-3}$ به ازای ۱۰۰۰۰ تکرار بررسی خواهد شد. برای شبیه‌سازی از توزیع کلاتر رایلی استفاده می‌شود. دلیل این فرض، در نظر گرفتن آشکارساز خطی (آشکارساز دامنه) برای نمونه‌های ورودی می‌باشد. همچنین تعداد سلول‌های مرجع برابر ۳۲ فرض می‌شود. همچنین توان سیگنال به نویز (SNR) برابر ۲۰ دسی‌بل و توان کلاتر به کلاتر (CCR) در دو طرف مرز نیز برابر ۲۰ دسی‌بل است.

قبل از اینکه به بررسی عملکرد W-CFAR پرداخته شود لازم است عملکرد آشکارساز لبه کلاتر از جنبه‌های مختلف مورد ارزیابی قرار گیرد. ابتدا برای انجام تبدیل موجک مکان لبه کلاتر را با مناسب انتخاب شود. برای ارزیابی، از منحنی احتمال آشکارسازی لبه بر حسب مکان لبه کلاتر استفاده می‌شود. محاسبه احتمال آشکارسازی بدین صورت انجام می‌شود که اگر به عنوان مثال لبه کلاتر در مکان r_0 باشد آنگاه در صورتی که آشکارساز مکان لبه کلاتر را $-1 - r_0 + 1$ یا $r_0 + 1$ نیز تخمین بزند به عنوان مکان صحیح قلمداد می‌شود. دلیل این امر آن است که اختلاف یک نمونه در مکان لبه تاثیر چندانی در عملکرد الگوریتم W-CFAR ندارد. ثانیاً به گونه‌ای الگوریتم کار می‌کند که برای $\frac{N}{2} < r_0$ مطابق شکل ۲-الف از نمونه‌های N تا $r_0 + 1$ برای

۴- عملیات CFAR با مکان‌یابی لبه کلاتر توسط تبدیل موجک ایستان

شیوه کلی ساختار CFAR به این صورت است که برای هر سلول، سطح آستانه از روی نمونه‌های کناری به طور مجرماً تعیین خواهد شد. مطابق شکل ۱، پس از تحلیل نمونه‌ها در یک پردازنده CFAR (که تخمین یک پارامتر است) نتیجه حاصل در پارامتری مانند α ضرب می‌شود. ذکر این نکته ضروری است که برای استفاده از ساختار CFAR ابتدا از یک آشکارساز ساده دامنه استفاده نموده و سپس رخ آژیر غلط را با یک روش CFAR مناسب ثابت نگه می‌دارند. از آنجا که با پارامتر شکل $C = 2$ توزیع ویبول به توزیع رایلی منجر می‌شود هر یک از نمونه سلول‌های مرجع یک متغیر تصادفی یکسان با توزیع رایلی و مستقل از هم باتابع چگالی به صورت [۲]:

$$f_x(x) = \frac{2x}{\sigma} \exp\left(-\frac{x^2}{\sigma}\right) \quad (24)$$

است که در رابطه فوق σ توان نویز است می‌توان با پردازش سلول‌های مرجع اطراف سلول تحت تست توان نویز را به صورت [۱۳]:

$$\hat{\sigma} = \left[\sum_{i=1}^N x_i^2 \right]^{0.5} \quad (25)$$

تخمین زد. بنابراین می‌توان آزمون آشکارسازی با خاصیت CFAR را برای سلول تحت تست CUT به صورت

$$CUT >_{H_0} \left[\alpha \sum_{i=1}^N x_i^2 \right]^{0.5} \quad (26)$$

بیان نمود که در رابطه فوق α به ازای هر احتمال هشدار غلط از رابطه

$$\alpha = \sqrt{\left(p_{fa}^{\frac{1}{N}} - 1 \right)} \quad (27)$$

بدست می‌آید. مطابق شکل ۳ در آشکارساز W-CFAR از N سلول مرجع اطراف سلول تحت تست ابتدا مکان لبه کلاتر استخراج می‌شود. با توجه به موقعیت لبه کلاتر (۲) دو حالت اتفاق می‌افتد:

(الف) زمانی که لبه کلاتر مشابه شکل ۲-الف باشد یعنی $\frac{N}{2} \leq r$ است. طبیعی است که آمارگان سلول تحت تست تابع قسمت اکتریت است که دارای توان پایین هستند در این صورت پردازشگر W-CFAR روي مکان لبه تقریبی، سلول‌های با توان کم را تعیین کرده و با میانگین‌گیری از توان آن‌ها پارامتر کلاتر را به صورت رابطه زیر تقریب می‌زنند:

$$\hat{\sigma} = \frac{1}{N} \sum_{i=1}^N w_i x_i^2 \quad (28)$$

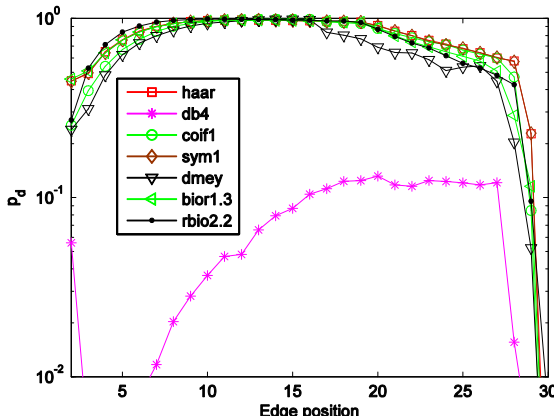
که در آن:

$$w_i = \begin{cases} 1 & i > r \\ 0 & \text{else} \end{cases} \quad (29)$$

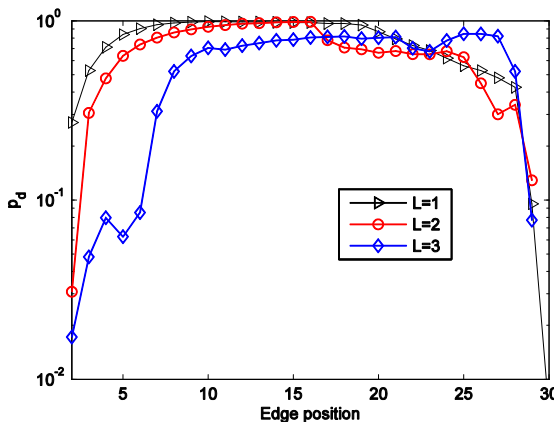
است.

(ب) زمانی که لبه کلاتر مشابه شکل ۲-ب اتفاق بیفتند یعنی $\frac{N}{2} < r < r_0$ است، در این صورت سلول تحت تست تابع نمونه‌های با توان بالاست.

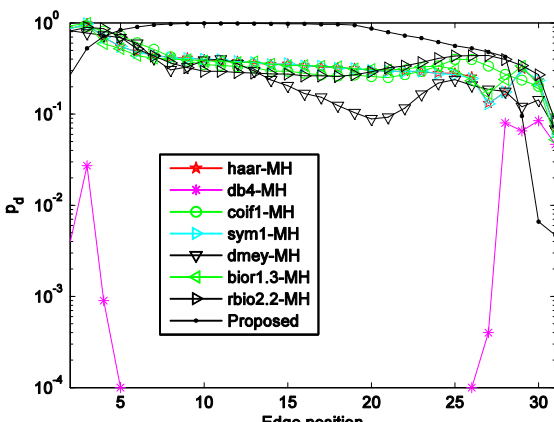
آشکارساز ارائه شده نیز در برخی موارد بهتر از SO-CFAR بوده و از سایر آشکارسازها نیز بهتر است.



شکل ۷: احتمال آشکارسازی بر حسب مکان‌های لبه کلاتر برای موجک‌های مختلف



شکل ۸: احتمال آشکارسازی بر حسب مکان‌های لبه کلاتر برای سطوح تجزیه مختلف موجک برای موجک با تعامل طرفینی



شکل ۹: احتمال آشکارسازی بر حسب مکان‌های لبه کلاتر برای دو روش مختلف تخمین مکان لبه

تخمین توان نویز استفاده کند و اگر $r_0 > \frac{N}{2}$ باشد شکل ۲-ب از نمونه ۱ تا $1 - r_0$ برای تخمین توان نویز استفاده شود. شکل ۷ احتمال آشکارسازی لبه را بر حسب مکان لبه به ازای موجک‌های مختلف نشان می‌دهد. همان‌گونه که از شکل ملاحظه می‌شود عملکرد تعادی از موجک‌ها از جمله موجک‌های با تعامل طرفینی مناسب است. لذا در ادامه موجک با تعامل طرفینی ۲.۲ bior2.2 برای تشخیص لبه استفاده می‌شود.

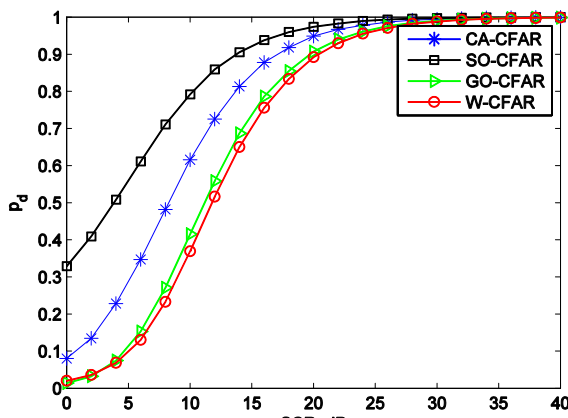
از دیگر مسائلی که در متن به آن اشاره شد تعداد سطوح تجزیه موجک بود. شکل ۸ عملکرد آشکارساز را به ازای تعداد سطوح مختلف تجزیه موجک برای احتمال آشکارسازی لبه را بر حسب مکان لبه نشان می‌دهد. در این شکل نیز کاملاً واضح است که بهترین عملکرد برای حالتی است که یک سطح تجزیه (که اتفاقاً حجم محاسباتی کمتری دارد) انتخاب شود.

در ادامه عملکرد الگوریتم پیشنهادی را با الگوریتم موجود MH در [۱۵] و [۱۶] مقایسه می‌کنیم. همان‌طور که در شکل ۹ ملاحظه می‌شود الگوریتم پیشنهادی به جز در مکان‌های ابتدا و انتهای سلول‌های مرتع عملکرد مطلوب‌تری نسبت به عملکرد الگوریتم موجود MH دارد. البته الگوریتم MH در مواردی که یک پالس با نویز جمع شود به طرز بسیار مناسبی مکان لبه را تشخیص می‌دهد. ولی همان‌طور که قبلانیز اشاره شد از آنجا که نمونه‌ها تصادفی است و لبه کلاتر تنها اختلاف سطح توان را نشان می‌دهد و همچنین تعداد نمونه‌ها بسیار کم است این الگوریتم عملکرد مطلوبی ندارد. در ادامه عملکرد آشکارساز پیشنهادی را بررسی می‌کنیم.

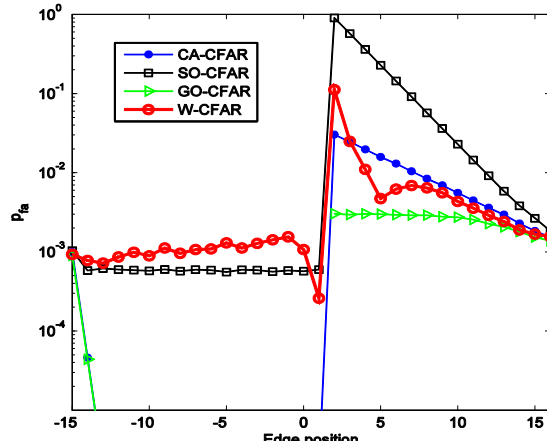
از آنجایی که وقتی بنا به شرایطی الگوریتمی تعمیم داده می‌شود نباید خاصیت اصلی خود را در غیاب آن شرایط از دست بدهد. W-CFAR بهترین کارآیی را در شرایط همگن دارد. شکل ۱۰ احتمال آشکارسازی را بر حسب توان سیگنال به کلاتر نشان می‌دهد. همان‌گونه که از شکل ۱۰ نیز مشاهده می‌شود در محیط همگن بهترین کارآیی متعلق به CA-CFAR بوده و عملکرد آشکارساز پیشنهادی W-CFAR فاصله کمی با آن دارد. بنابراین این شبیه‌سازی نشان می‌دهد که کارآیی W-CFAR در عدم حضور لبه کلاتر افت چندانی ندارد. در ادامه عملکرد W-CFAR در محیط غیر همگن و در حضور لبه کلاتر بررسی می‌گردد.

شکل ۱۱ احتمال آشکارسازی بر حسب توان کلاتر به نویز برای آشکارسازهای برای حالت ۲-الف وقتی که لبه کلاتر در $r_0 = 5$ است رسم شده است. همان‌طور که مشاهده می‌شود از آنجا که سلول تحت تست در بخش کلاتر با توان کم قرار دارد و سطح آستانه ایجاد شده توسط SO-CFAR از بقیه آشکارسازها پایین‌تر است لذا بهترین احتمال آشکارسازی نیز برای این آشکارساز است. از طرفی عملکرد

می‌شود مدامی که لبه کلاتر مفروض قبل از سلول تحت تست باشد مقدار آژیر غلط به ازای SO-CFAR و W-CFAR تقریباً ثابت است در حالی که برای آشکارسازهای CA-CFAR و GO-CFAR و CA-CFAR این پارامتر به شدت افت می‌کند. با عبور لبه کلاتر از سلول تحت تست مشاهده می‌شود که آشکارساز CA-CFAR و GO-CFAR پایداری بهتری نسبت به آشکارساز SO-CFAR دارد. در این حالت آژیر غلط برای W-CFAR نیز مطلوب بوده (GO-CFAR به نزدیک به CA-CFAR) و پرش چندانی ندارد. بنابراین مثلاً در شکل ۱۱ که آشکارساز پیشنهادی W-CFAR و همچنین SO-CFAR عملکرد مناسبی دارند دارای آژیر غلط ثابتی هستند اما در شکل ۱۲ که آشکارسازهای موجود شامل CA-CFAR و SO-CFAR ضعیفتری از آمارگان کلاتر زده می‌شود و لذا در این حالت مقدار احتمال هشدار غلط بیشتر از حالتی که برای آشکارساز طراحی شده است افزایش یابد که این به معنی از بین رفتن خاصیت CFAR برای آشکارسازهای مذکور می‌شود. لذا عملکرد آشکارساز ارائه شده تنها با آشکارساز GO-CFAR مقایسه می‌شود که با توجه به نتایج شبیه‌سازی عملکردی تقریباً مشابه با این آشکارساز دارد.

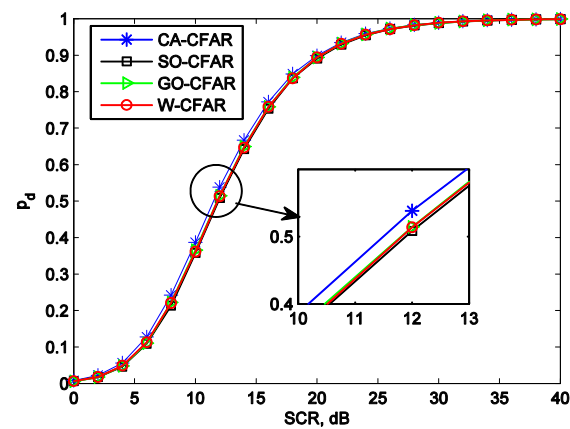


شکل ۱۲: احتمال آشکارسازی بر حسب SCR در حضور لبه کلاتر ($r = 20$)

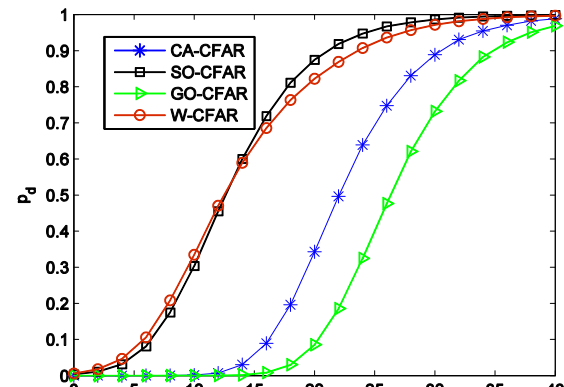


شکل ۱۳: احتمال آژیر غلط بر حسب مکان لبه کلاتر برای آشکارسازهای مختلف

در شکل ۱۲ عملکرد آشکارسازهای ذکر شده را وقتی که لبه کلاتر بعد از سلول تحت تست در $r_0 = 20$ قرار دارد، حالت ۲-ب، بررسی می‌شود. در این وضعیت نیز آشکارساز SO-CFAR به دلیل اینکه دارای سطح آستانه پایین‌تری نسبت به بقیه است احتمال آشکارسازی بهتری دارد. آشکارساز پیشنهادی نیز دارای احتمال آشکارسازی نزدیک به W-CFAR است. شایان ذکر است که برای بررسی عملکرد GO-CFAR علاوه بر احتمال آشکارسازی، احتمال آژیر غلط نیز باید مورد بررسی قرار گیرد که در ادامه بیان می‌شود.



شکل ۱۰: احتمال آشکارسازی بر حسب توان سیگنال به کلاتر در محیط همگن برای آشکارسازهای مختلف



شکل ۱۱: احتمال آشکارسازی بر حسب SCR در حضور لبه کلاتر ($r = 5$)

تاکنون عملکرد پردازشگرهای CFAR را به صورت احتمال آشکارسازی بررسی نمودیم. از آنجا که هدف ساختار CFAR تثبیت نرخ آژیر غلط می‌پاشد، الگوریتم‌های مذکور باید از این جهت نیز با یکدیگر مقایسه شوند. شکل ۱۳ منحنی احتمال آژیر غلط را به ازای مکان‌های مختلف لبه کلاتر r نشان می‌دهد. r های منفی مبنی‌لبه کلاتر قبل از سلول تحت تست و مثبت‌لبه کلاتر قرار گرفتن سلول تحت تست در سلول‌های مرجع با توان بالا می‌پاشند. آژیر غلط به ازای $P_{fa} = 10^{-3}$ تنظیم شده است. همان‌گونه که از این شکل ملاحظه

- [13] R. Ravid and N. Levanon, "Maximum-likelihood CFAR for Weibull background," in *IEE Proceedings F-Radar and Signal Processing*, 1992, pp. 256-264.
- [14] S. Mallat, *A wavelet tour of signal processing*: Academic press, 1999.
- [15] S. Mallat and W. Hwang, "Singularity detection & processing with wavelets," *IEEE Trans. Information Theory*, vol. 38, pp. 617-643, 1992.
- [16] B. M. Sadler and A. Swami, "Analysis of multiscale products for step detection and estimation," *IEEE Trans. Information Theory*, vol. 45, no. 3, pp. 1043-1051, 1999.
- [17] G. P. Nason and B. W. Silverman, "The stationary wavelet transform and some statistical applications," in *Wavelets and statistics*, ed: Springer, 1995, pp. 281-299.
- [18] Y. Zeng, Y. C. Liang and M. W. Chia, "Edge based wideband sensing for cognitive radio: algorithm and performance evaluation," in *IEEE Symp. Dynamic Spectrum Access Networks (DySPAN)*, pp. 538-544, 2011.

۶- نتیجه‌گیری

در این مقاله یک آشکارساز جدید به نام W-CFAR برای بهبود عملکرد CFAR در حضور لبه کلاتر معرفی شد. این آشکارساز با استفاده از تبدیل موجک ایستان موقعیت مکان لبه کلاتر را تشخیص می‌دهد. با توجه به منحنی‌های احتمال آشکارسازی در محیط همگن و غیر همگن و همچنین منحنی احتمال آژیر غلط به ازای موقعیت‌های مختلف کلاتر می‌توان نتیجه گرفت که آشکارساز پیشنهادی بر پایه تبدیل موجک W-CFAR مدامی که لبه کلاتر قبل از سلول تحت تست باشد، خواصی مشابه SO-CFAR و مدامی که لبه کلاتر بعد از سلول تحت تست باشد خواصی مشابه GO-CFAR دارد که مفید بودن این روش را تائید می‌کند. لازم به ذکر است که GO و SO-CFAR هر کدام در یکی از این دو ناحیه مذکور عملکرد خوبی دارند.

زیرنویس‌ها

- ^۱ False alarm
- ^۲ Constant false alarm rate
- ^۳ Cell averaging CFAR
- ^۴ Ordered statistic CFAR
- ^۵ Homogeneous environment
- ^۶ Non-Homogeneous environment
- ^۷ Clutter edge
- ^۸ Smallest of CFAR
- ^۹ Greatest of CFAR
- ^{۱۰} Censoring CFAR
- ^{۱۱} Wavelet transform
- ^{۱۲} Stationary wavelet transform (SWT)
- ^{۱۳} Wavelet CFAR
- ^{۱۴} CFAR processing
- ^{۱۵} Continuous wavelet transform
- ^{۱۶} Scale
- ^{۱۷} Translation
- ^{۱۸} Multi resolution analysis
- ^{۱۹} Discrete wavelet transform (DWT)
- ^{۲۰} Detail coefficients
- ^{۲۱} Approximation coefficients
- ^{۲۲} Multi-rate signal processing
- ^{۲۳} Bi-orthogonal wavelet
- ^{۲۴} Mallat & Huang

مراجع

- [1] H. Rohling, "Radar CFAR thresholding in clutter and multiple target situations," *IEEE transactions on aerospace and electronic systems*, pp. 608-621, 1983.
- [2] H. Finn and R. Johnson, "Adaptive detection mode with threshold control as a function of spatially sampled clutter level estimates (Adaptive detection mode for surveillance radar, using detection threshold proportional to spatially sampled clutter level estimates for regulation of false alarm probability)," *RCA review*, vol. 29, pp. 414-464, 1968.
- [3] M. Weiss, "Analysis of some modified cell-averaging CFAR processors in multiple-target situations," *IEEE Transactions on Aerospace and Electronic Systems*, pp. 102-114, 1982.
- [4] P. P. Gandhi and S. A. Kassam, "Analysis of CFAR processors in homogeneous background," *IEEE Transactions on Aerospace and Electronic Systems*, vol. 24, pp. 427-445, 1988.
- [5] A. R. Elias-Fuste, M. G. G. de Mercado, and E. de Los Reyes Davo, "Analysis of some modified ordered statistic CFAR: OSGO and OSSO CFAR," *IEEE Transactions on Aerospace and Electronic Systems*, vol. 26, pp. 197-202, 1990.
- [6] A. Zaimbashi, M. R. Taban, M. M. Nayebi, and Y. Norouzi, "Weighted order statistic and fuzzy rules CFAR detector for Weibull clutter," *Signal processing*, vol. 88, pp. 558-570, 2008.
- [7] S. D. Himonas and M. Barkat, "Automatic censored CFAR detection for nonhomogeneous environments," *IEEE Transactions on Aerospace and Electronic systems*, vol. 28, pp. 286-304, 1992.
- [8] A. Farrouki and M. Barkat, "Automatic censoring CFAR detector based on ordered data variability for nonhomogeneous environments," *IEE Proceedings-Radar, Sonar and Navigation*, vol. 152, pp. 43-51, 2005.
- [9] T. Jian, G. Liao, Y. He and J. Shen, "A CFAR detector based on orthogonal wavelet transform," *2014 12th International Conference on Signal Processing (ICSP)*, Hangzhou, 2014, pp. 1963-1967.
- [10] S. M. Alamdar, M. Modarres-Hashemi, "An improved CFAR detector using wavelet shrinkage in multiple target environments," in *IEEE 9th International Symposium on Signal Processing and Its Applications*, 2007.
- [11] Y. Dong, "A wavelet smoothing CFAR processor," in *IEEE International Conference on Radar*, 2008.
- [12] L. Xiaoming, S. Jidong, L. Renjie, W. Xin, "The Radar Clutter Processor with wavelet floating threshold", in *IEEE international conf. on Radar proceedings*, 2001.